

Projeto de um tunel para proteção de conduto

Vicente de Sá Barbosa Junior.

Eng.^o Estagiário — 3.^a Seção Técnica

O tunel foi calculado inicialmente para sistema "arco apoiado em estribos". Verificámos ser o projeto anti-económico, quanto á grande quantidade de concreto necessário.

Considerando concreto simples, o arco era obtido em condições bastante económicas, na razão de 17 cm. na chave e 25 cm. nos estribos. Em compensação, chegamos a verdadeiros massiços para os estribos, devido á condição de grande carga de terra e grandes empuxos laterais.

Grade de uma futura Estrada de rodagem

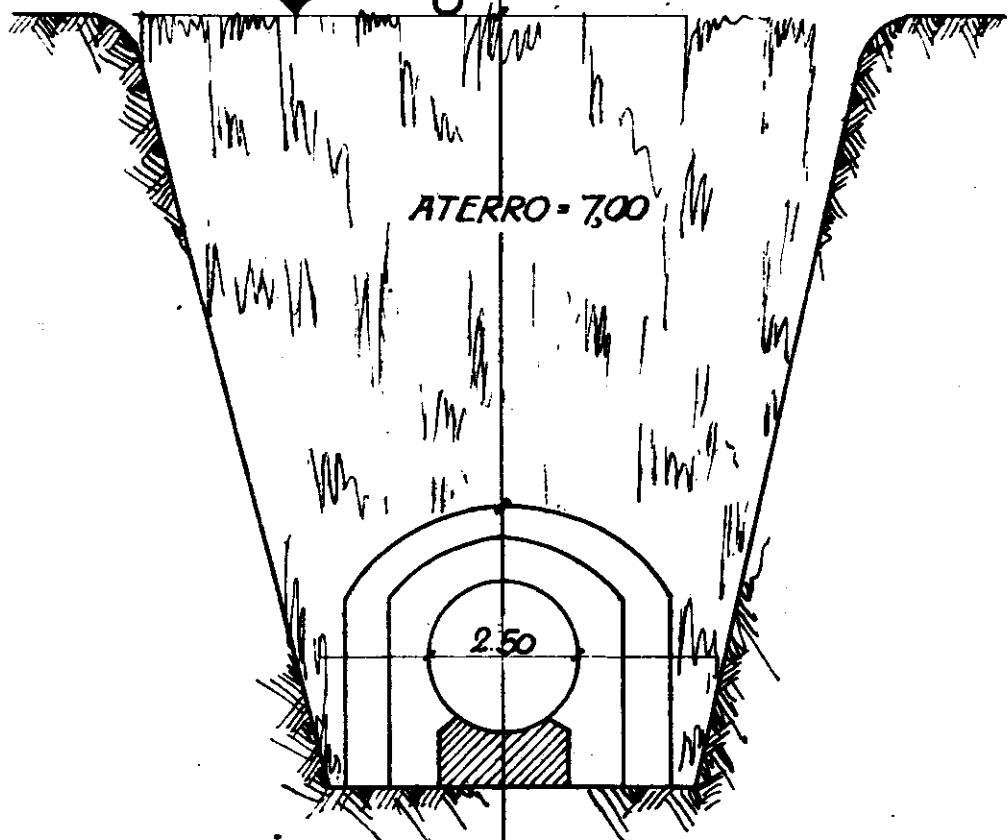


Fig. 1

Calculado em concreto armado e no mesmo sistema, obtivemos resultados mais vantajosos; mas, mesmo assim, pouco economicos.

Recorremos, então, a uma estrutura rígida e indeformável, com momento de inercia variavel desde a chave até as sapatas. Baseamos o calculo na obra de R. Saliger (Editorial Labor. Barcelona), adaptando-lhe as formulas ás condições do problema. O calculo é baseado no trabalho de deformação.

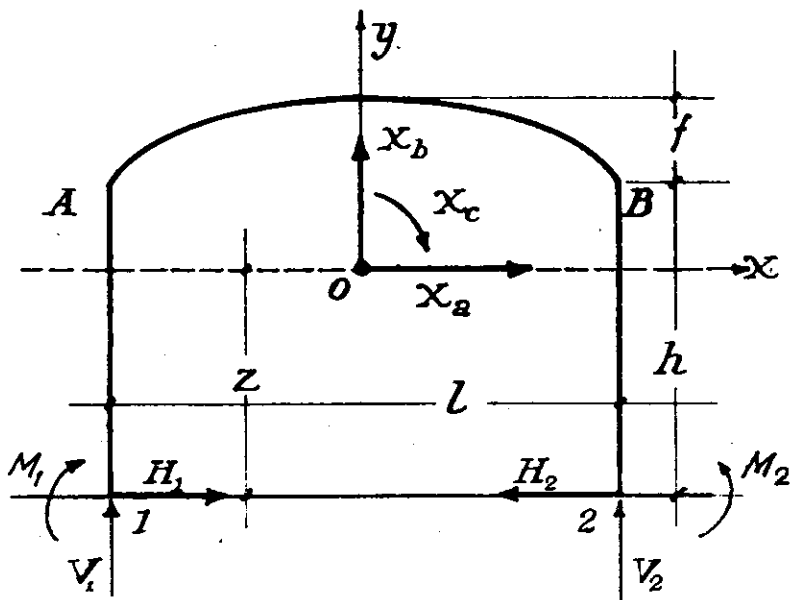


FIG. 2

As grandezas hiperestáticas, seguindo o processo de Schönhöfer que usa valôres fixos: $\frac{s}{J} = s'$, resultam:

$$X_a = \frac{\sum \mathfrak{M} y + \frac{1}{s'} E w t l}{\sum y^2}$$

$$X_b = \frac{\sum \mathfrak{M} x}{\sum x^2}$$

$$X_c = - \frac{\sum \mathfrak{M} + \frac{1}{s'} E w \Delta t \sum s''}{n}$$

\mathfrak{M} = Momento fletor.

E = Coeficiente de elasticidade.

s' = peso elástico.

s'' = relação de espessura para comprimento do elemento de arco.

- t = acrecimo de temperatura.
 w = pressão unitaria devido à variação de temperatura.
 n = numero de elementos de arco.

Momento em qualquer secção:

$$M = \vartheta l - X_a y - X_b x + X_c$$

x mt	y mt
0	0
0,4	0,36
0,8	0,64
1,0	0,75
1,2	0,84
1,6	0,96
2,0	1,00

Quadro I

Coordenadas do arco A B

Usando a formula da parabola

$$y = \frac{4f}{l^2} (lx - x^2),$$

determinamos os valôres das coordenadas, cujos resultados encontramos no quadro abaixo.

$$f = \text{flexa} = 1 \text{ mt.}$$

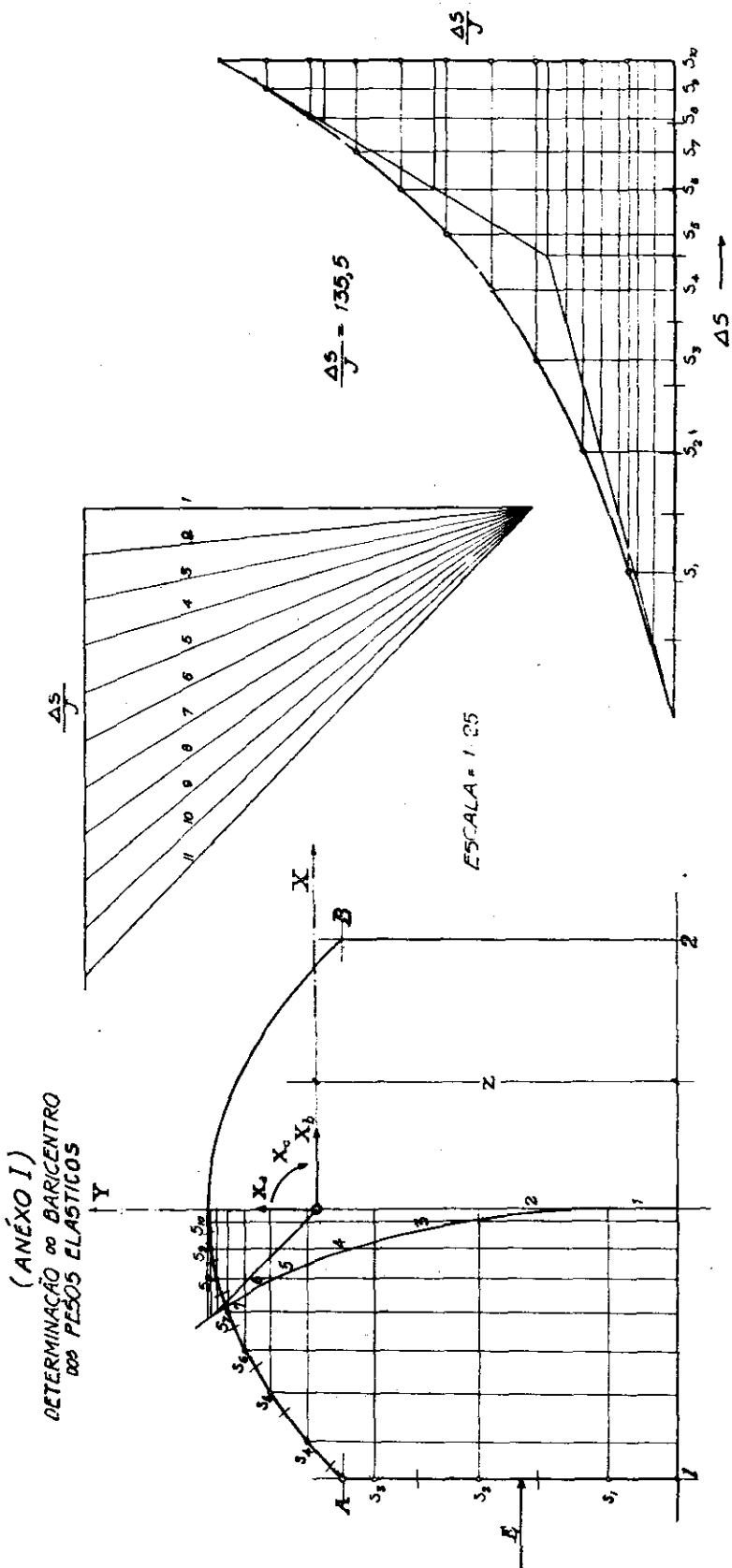
$$l = \text{vão} = 4 \text{ mt.}$$

Dividimos o portal em 20 segmentos de igual peso elastico, considerando 26 cms. na chave e 46 cmf. ao encontrar a sapata. A divisão em elementos de igual peso elastico efetuamos pelo metodo de Schönhöfer. Por meio de um poligono funicular obtivemos o baricentro dos pesos elasticos.

Coordenadas referidas ao baricentro elastico

SEC.	y' mts	$y = y' \cdot z$ $z = 2,70$	y^2	z	z^2	s	$d = f'$ mts	$J = \frac{bd^3}{12}$	$S'' = \frac{s}{d}$
1	0,523	-2,177	4,7200	2,000	4,000	1,045	0,453	0,00770	2,310
2	1,488	-1,212	1,4700	2,000	4,000	0,887	0,428	0,00655	2,120
3	2,263	-0,437	0,1910	2,000	4,000	0,662	0,388	0,00488	1,701
4	2,770	+0,070	0,0049	1,725	2,970	0,520	0,359	0,00384	1,405
5	3,050	+0,350	0,1220	1,365	1,860	0,400	0,328	0,00295	1,220
6	3,240	+0,540	0,2820	1,050	1,102	0,336	0,310	0,00248	1,084
7	3,365	+0,665	0,4420	0,770	0,592	0,275	0,291	0,00203	0,945
8	3,430	+0,730	0,5320	0,510	0,260	0,250	0,281	0,00185	0,890
9	3,480	+0,780	0,6100	0,300	0,090	0,220	0,269	0,00162	0,818
10	3,499	+0,799	0,6400	0,102	0,010	0,205	0,262	0,00151	0,783
Σ	27,108	+0,108	9,0139	-	19,884	4,800	-	-	13,321

Quadro II



Ordenada do baricentro dos pesos elásticos

$$z = 2,70 \text{ mts.}$$

$$s' = \frac{\Delta s}{J} = 135,5 \text{ m}^{-3}$$

$$\frac{1}{2} \sum s = 10 \times 135,5 = 1355 \text{ m}^{-3}$$

Cargas permanentes

A carga que atua sobre o portal é de 7 mts. de altura de terra (piçarra) (Fig. 1). Aplicamos a formula de Frühling que mais se adapta ao caso.

$$p' = \gamma B \left[\frac{5}{3} - \frac{(5-t)^3}{75} \right]$$

γ = peso específico da terra

B = largura

t = altura da camada de terra

p' = carga por m^2 .

A formula de Frühling considera a carga constante para uma espessura de terra maior que 5 mts. Sendo o peso específico da terra $\gamma = 1,6 \text{ T/m}^3$ e para 1 mt. de largura e 1 mt. corrido de arco, teremos:

$$p' = 1,6 \times 1,0 \times \frac{5}{3} = 2,67 \text{ T/m}^2$$

Devido à pequena variação de espessura do arco, podemos, para o cálculo de carga permanente, considerá-lo com uma espessura média de 0,32 mt. E considerando também o seu desenvolvimento, teremos um peso por m^2 de projeção:

$$p'' = 0,40 \text{ mt} \times 2,4 \text{ T/m}^3 = 0,96 \text{ T/m}^2.$$

carga permanente: $p = p' + p'' = 2,67 + 0,96 = 3,63 \text{ T/m}^2$.

Cargas moveis

A grande camada de terra absorverá os efeitos das cargas moveis.

Empuxo de terra

$$E = \frac{1}{2} \gamma H_t^2 \operatorname{tg}^2 \left(45^\circ - \frac{\varphi}{2} \right)$$

$$H_t^2 = (H^2 - h_t^2)$$

$$E = \frac{1}{2} \times 1,6 \times 46 \times \operatorname{tg}^2 22^\circ 30'$$

$$E = 6,30 \text{ T}$$

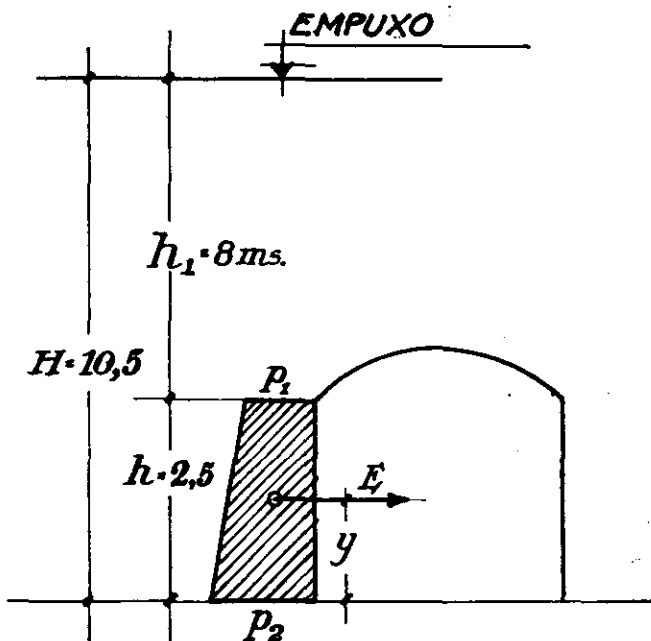


Fig 3

Ponto de aplicação da resultante:

$$y = \frac{h}{3} \left[\frac{2h_1 + H}{h_1 + H} \right] = 1,193 \text{ mts.}$$

$$E = 0,137 H_1^2$$

$$p = \frac{dE}{dH} = 0,274 H$$

$$p_1 = 8 \times 0,274 = 2,19 \text{ T/m}$$

$$p_2 = 10,5 \times 0,274 = 2,88 \text{ T/m.}$$

Podemos considerar com uma distribuição de carga retangular.

Caso A — Momentos fletores devido ás cargas permanentes

Considerámos o caso de carga da fig. 4. Os momentos ΣM foram obtidos graficamente e dados pelo quadro III.

$$\frac{1}{2} \sum y^2 = 9,014 \quad \frac{1}{2} \sum x^2 = 18,884 \quad \frac{1}{2} n = 10$$

Grandezas hiperestáticas:

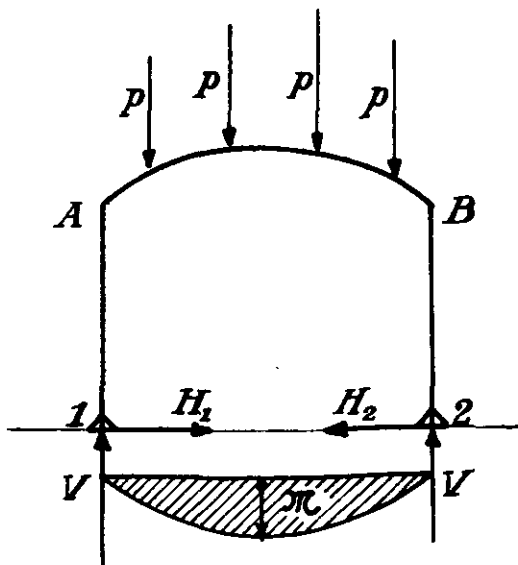
$$X_a = \frac{\sum \mathfrak{M} y}{\sum y^2} = \frac{24,986}{9,014} = \\ = 2,50 \text{ T}$$

$$X_b = 0$$

$$X_c = - \frac{\sum \mathfrak{M}}{n} = - \frac{38,70}{10} = - \\ = - 3,87 \text{ T. m.}$$

$$H_1 = X_a = 2,50 \text{ T}$$

$$V_t = \frac{P}{2} = \frac{4 \times p}{2}$$



Momentos nas diversas secções:

$$M'_4 = \mathfrak{M}_4 - X_a y_4 + X_c = 1,80 - 25 (0,070) - 3,87 = - 2,25 \text{ T. M.}$$

$$M'_5 = - 0,75 \text{ T. M.}$$

$$M'_6 = + 0,08 \rightarrow$$

$$M'_7 = + 0,67 \rightarrow$$

$$M'_8 = + 1,11 \text{ T. M.}$$

$$M'_9 = + 1,38 \rightarrow$$

$$M'_{10} = + 1,54 \rightarrow$$

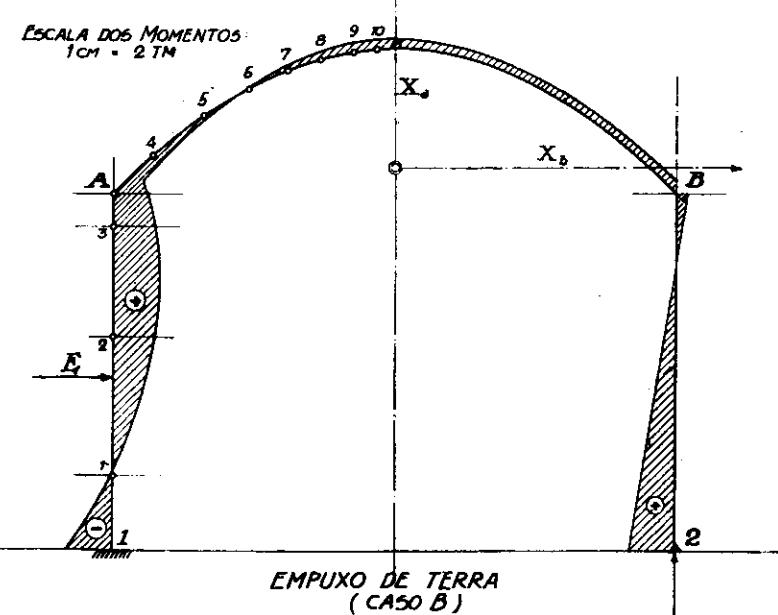
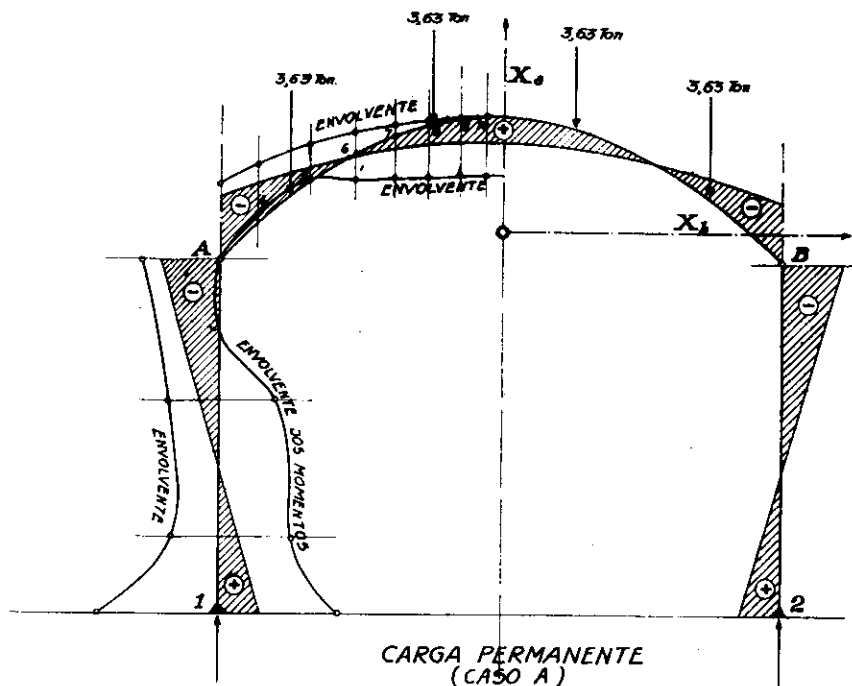
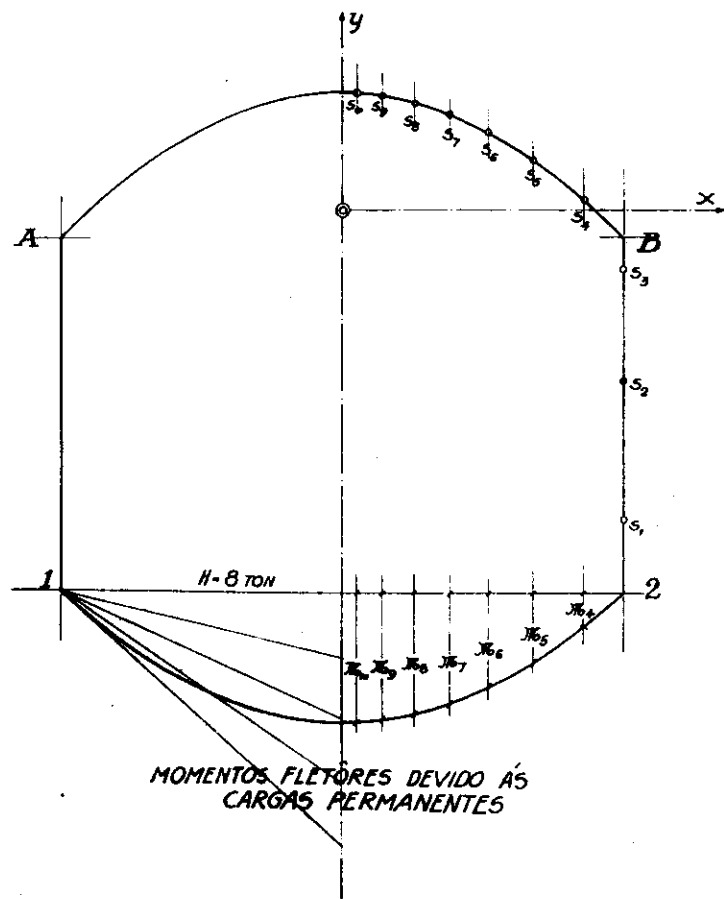
$$M_A = - X_a y_a + X_c = - 25 (- 0,20) - 3,87 = - 3,37 \text{ T. M.}$$

$$M_i = M_2 = - X_a z + X_c = - 25 (- 2,70) - 3,87 = 2,38 \text{ T. M.}$$

Quadro III

Elemento	\mathfrak{M}	y	$\mathfrak{M} y$
4	1.80	+0,070	0,126
5	4,00	+0,350	1,400
6	5,30	+0,540	2,860
7	6,20	+0,665	4,120
8	6,80	+0,730	4,960
9	7,20	+0,780	5,610
10	7,40	+0,799	5,910
$1/2 \Sigma$	38,70		26,986

DIAGRAMA DOS MOMENTOS



Caso B — Momento fletor devido ao empuxo de terra

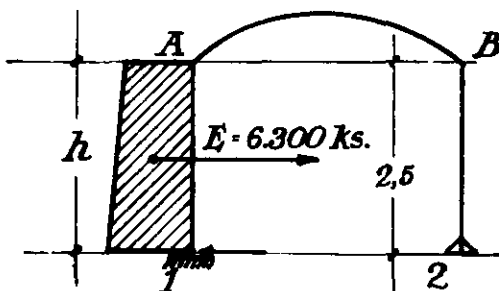


Fig. 5

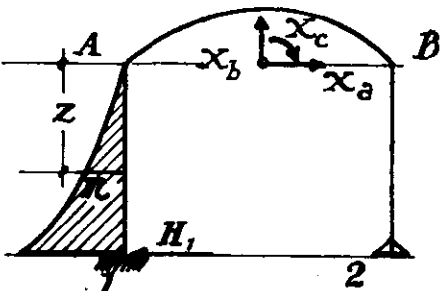


Fig. 6

Damos abaixo um quadro dos momentos fletores calculados.

$$\mathfrak{M} = - \frac{1}{2} q z^2$$

$$q = \frac{E}{h} = \frac{6,3 \text{ T}}{2,5} = 2,52 \text{ T/M.}$$

$$H = - qh = - 1,26 \times 2,5$$

$$H = - 3,15 \text{ T}$$

$$H_a = \frac{12,296}{9,014} = + 1,36 \text{ T}$$

$$X_b = \frac{-12,32}{18,884} = - 0,65 \text{ T}$$

$$X_c = \frac{-6,261}{10} \cong 0,63 \text{ T. M.}$$

Quadro IV

Elemento	<i>z</i>	<i>m</i>	<i>y</i>	<i>x</i>	<i>mx</i>	<i>my</i>	<i>mz</i>
1	1,98	-4,940	-2,177	+2,00	+10,730	-9,88	
2	1,00	-1,260	-1,212	+2,00	+1,540	-2,32	
3	0,22	-0,061	-0,437	+2,00	+0,026	-0,12	
Σ	\sim	-6,261	\sim		+12,296	-12,32	

Momentos nas Secções

$$M'_1 = \mathfrak{M} - X_a y - X_b + X_c$$

$$M'_1 = - 4,94 - 1,36 (- 2,177) + 0,65 (2,00) + 0,63 = - 0,05 \text{ T.M.}$$

$$\begin{aligned}
 M_z' &= + 2,32 \text{ T. M.} & H_i = H_A + X_a &= - 1,79 \text{ T. M.} \\
 M_3' &= + 2,47 \quad \rightarrow & V_i &= - V_i = X_b \\
 M_A &= + 2,90 \quad \rightarrow & & \\
 M_i &= - 2,55 \quad \rightarrow & & \\
 M_z &= + 2,73 \quad \rightarrow & H_i = E - H_i &= 4,51 \text{ T. M.} \\
 M_B &= - 0,398 \quad \rightarrow & &
 \end{aligned}$$

Caso C — Momentos devidos à variação de temperatura

Calculámos para uma temperatura $t = \pm 10^\circ\text{C}$ e um acréscimo $\Delta t = \pm 5^\circ\text{C}$.

As grandezas hyperestáticas serão:

$$X_a = \frac{\frac{1}{s'} E w t l}{\sum y^2} = \frac{\frac{1}{135,5} \times 20 \times 10 \times 4}{9,014} = \pm 0,655 \text{ T.}$$

considerando $E = 2 \times 10^6$ $w = 10^{-5}$
 $E w = 20$ $l = 4 \text{ mts.}$

$$X_e = \frac{\frac{1}{s'} E w \Delta t \sum s''}{n} = \frac{\frac{1}{135,5} \times 20 \times 5 \times 13,32}{20} = \mp 0,497 \text{ T. M.}$$

Donde

$$M_i = - X_a y = - [\pm 0,655 (- 2,7)] = \pm 1,77 \text{ T. M.}$$

$$M_A = \pm 0,13 \text{ T. M.}$$

$$M_s = \mp 0,52 \text{ T. M.}$$

Retração

Equivale a uma redução geral uniforme de $t = - 15^\circ\text{C}$.

$$X_a = - \frac{15}{10} \times 0,655 = - 0,982 \text{ T.}$$

$$M_i = X_a z = - 2,65 \quad M_a = - 0,19 \quad M_{chave} = 0,79$$

A seguir damos um quadro dos momentos máximos e mínimos provenientes do empuxo, temperatura e retração do conjunto.

Cargas verticais nas paredes:

a) Cargas permanentes — (reação vertical).

$$V_i = \frac{pl}{2} = \frac{3,63 \times 4}{2} = 7,26 \text{ T.}$$

Quadro V

Elementos	x	y		CARGAS EVENTUAIS				momentos		momentos		
				EMPUXO		Variação termica	Retração	momentos		momentos		
				Liquido	Airado			Caso	Total	Caso	Total	
Engastamento				-2,55	+2,73	+1,71	0,50	-2,65	B+C	+4,50	B+C+E	-6,97
1	2.000	-2.117		-0,05	+1,70	+1,62	"	-2,16	B+C	+3,12	B+C+E	-3,61
2	2.000	-1.212		+2,32	+0,30	+0,80	"	-1,19	A+C	+3,12	C+E	-1,99
3	2.000	-0,437		+2,47	-0,39	+0,89	"	-0,63	A-D	+2,97	B+C+E	-1,11
A	2.000	-0,200		+2,19	-0,40	+0,13	"	-0,19	A-D	+2,69	B+C+E	-0,72
4	1.725	+0,670		+0,86	-0,61	+0,05	"	+0,07	A-C-B-E	+1,66	B+C+D	-0,96
5	1.365	+0,350		+0,16	-0,62	+0,23	"	+0,36	B-C-B-E	+1,23	B+C+D	-1,15
6	1.050	+0,540		+0,04	-0,43	+0,35	"	+0,53	B-C-B-E	+1,62	B+C+D	-1,28
7	0,710	+0,665		-0,89	-0,66	+0,66	"	+0,65	-C-B-E	+1,59	B+C+D	-1,38
8	0,310	+0,730		-0,40	-0,65	+0,48	"	+0,72	-C-B-E	+1,70	B+C+D	-1,63
9	0,300	+0,780		-0,46	-0,65	+0,51	"	+0,77	-C-B-E	+1,78	B+C+D	-1,66
10	0,102	+0,799		-0,65	-0,66	+0,52	"	+0,78	-C-B-E	+1,80	B+C+D	-1,68
S (share)	0.000	+0.800		-0,66	-0,66	+0,58	"	+0,79	-C-B-E	+1,81	B+C+D	-1,68
				H_1	-1,79	+4,51	+0,655	0	-0,982			
				V_1	-0,65	+0,65	0	0	0			

Reação horizontal total, considerando cargas permanentes e eventuais :

$$1) \text{ Maxima } H_1 = 2,50 + 4,51 + 0,655 = + 7,665 \text{ T.}$$

$$2) \text{ Minima } H_1 = 2,50 - 1,79 - 0,655 = + 0,055 \text{ T.}$$

Esforços normais nas Secções

$$\text{Secções} \quad 10-9-8-7-6-5-4 \quad N' = V_1 = 7,26 \text{ T.}$$

Secção 3: $N'_3 = V_1 + \text{peso do elemento 3.}$

$$N'_3 = 7,26 + (0,25 \text{ mt} \times 0,39 \text{ mt} \times 1,0 \text{ mt}) 2,4 \text{ T/m}^3 = 7,49 \text{ T.}$$

Secção 2: $N'_2 = N_3 + \text{peso do elemento 2.}$

$$N'_2 = 7,49 + (0,78 \times 0,42 \times 1,0) 2,4 = 8,27 \text{ T.}$$

Secção 1: $N'_1 = N_2 + \text{peso do elemento 1.}$

$$N'_1 = 8,27 + (0,97 \times 0,45 \times 1,0) 2,4 = 9,32 \text{ T.}$$

Engastamento

$$N_1 = 9,32 + (0,52 \times 0,46 \times 1,0) 2,4 - X_b$$

$$N_1 = 9,32 + 0,69 + 0,65 = 10,66 \text{ T.}$$

Calculo da Resultante

Momento total em 1 ou 2 devido ás cargas permanentes e empuxo.

$$M_t = 2,38 + 2,73 = 5,11 \text{ T. M.}$$

Esforço normal $N_{max} = 10,66 \text{ T.}$

• horizontal $H_{max} = 7,665 \text{ T.}$

Teremos para a resultante

$$R = \sqrt{N^2 + H_{max}^2} = 13,12 \text{ T.}$$

E a excentricidade será: $e = \frac{M}{R} = \frac{5,11}{13,12} = 0,39 \text{ mt.}$

Com este quadro calculámos a ferragem.

Quadro VI

MOMENTOS TOTAES								
Elementos	Cargas eventuais max M	Cargas permanentes max N	Momentos total maximo M	Esforço normal N	Largura a	Excentrici- dade $L = \frac{e}{a}$	Estanços b	
Engast. 1	+ 6,50	- 6,97	+ 2,38	- 6,97	10,66	0,46	65,4	1,00
1	+ 3,12	- 3,61	+ 1,00	+ 4,12	9,32	0,45	44,2	"
2	+ 3,12	- 1,99	+ 1,10	+ 3,12	8,27	0,43	37,7	"
3	+ 2,97	- 1,11	- 3,00	- 4,11	7,49	0,39	55,0	"
4	+ 2,69	- 0,72	- 3,37	- 4,09	7,26	0,38	56,2	"
4	+ 1,46	- 0,96	- 2,25	- 3,21	7,26	0,36	44,2	"
5	+ 1,23	- 1,15	- 0,75	- 1,90	7,26	0,33	26,2	"
6	+ 1,62	- 1,28	+ 0,08	+ 1,50	7,26	0,31	20,6	"
7	+ 1,59	- 1,38	+ 0,67	+ 2,26	7,26	0,29	31,2	"
8	+ 1,70	- 1,63	+ 1,11	+ 2,81	7,26	0,28	38,7	"
9	+ 1,78	- 1,46	+ 1,38	+ 3,16	7,26	0,27	43,5	"
10	+ 1,80	- 1,48	+ 1,54	+ 3,34	7,26	0,26	46,0	"
Chave 3	+ 1,81	- 1,68	+ 1,55	+ 3,36	7,26	0,26	46,3	"

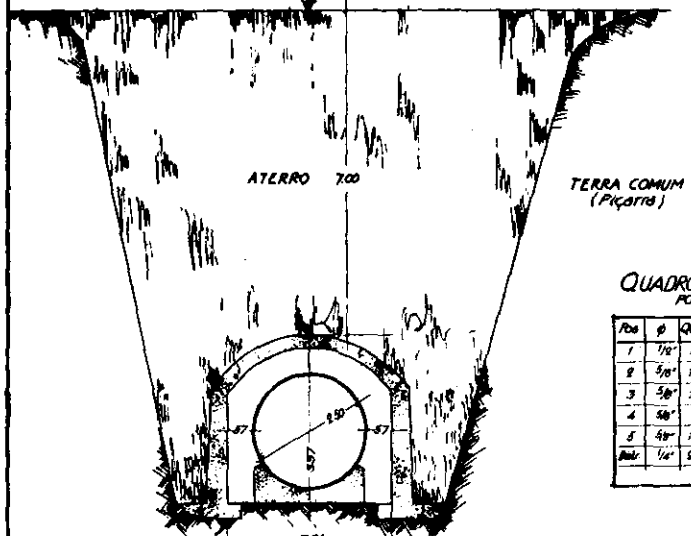
Ferragem

Calculámos á flexo-pressão. Os resultados estão na folha anexa.

Grade de uma fatura extraida de Rodagem
de 14 classes

R.A.E.
345.T

ADUTORÁ DO RIO CLARO
PROJETO DE UM TUNEL PARA
PROTEÇÃO DE CONDUTO

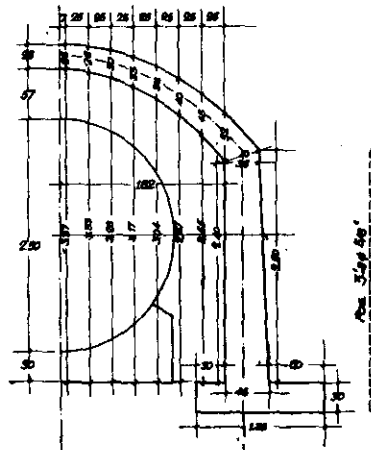


SEÇÃO DO CONJUNTO
ESC. 1:50

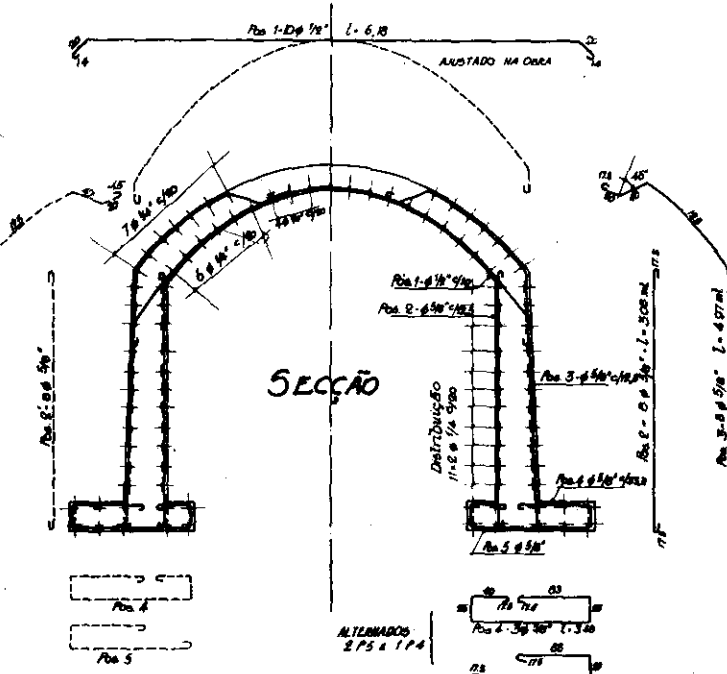
QUADRO DA FERRAGEM
POR METRO CORRIDO

Piso	#	Quant.	DIAMETRO mm	MTS	TOTAL
1	1/8"	10	6,78	61,80	61,100
2	5/8"	15	3,00	49,98	4,750
3	5/8"	15	4,97	79,52	7,600
4	5/8"	6	3,40	20,80	5,300
5	4/8"	12	2,85	33,80	55,200
	Total	97		371,00	23,950
				Peso Total	370,000kg

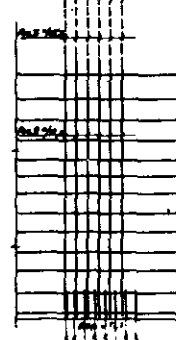
CONCRETO
VOLUME POR METRO CORRIDO = 4,44 m³
RELACAO DE FERRO
POR METRO CUBICO DE CONCRETO 83,9 kg/m³



ESC. 1:25



FERRAGEM NAS
PAREDES LATERAIS



DEPARTAMENTO DE AÇÕES E EXAMES DE	
DE S.I. SÃO PAULO	
AD. RIO CLARO	
PROJETO TUNEL PARA PROTEÇÃO CONDUITO	
TOTAL / 1000000	
DATA: 01/01/2010	
FOLHA 01 DE 01	

Sapata

Considerámos a compressão maxima do terreno de 3 kgs./cm². Calculámos segundo a lei do triangulo.

Processo identico de calculo é encontrado no Boletim R. A. E. N.^o 10 (fls. 124/132).

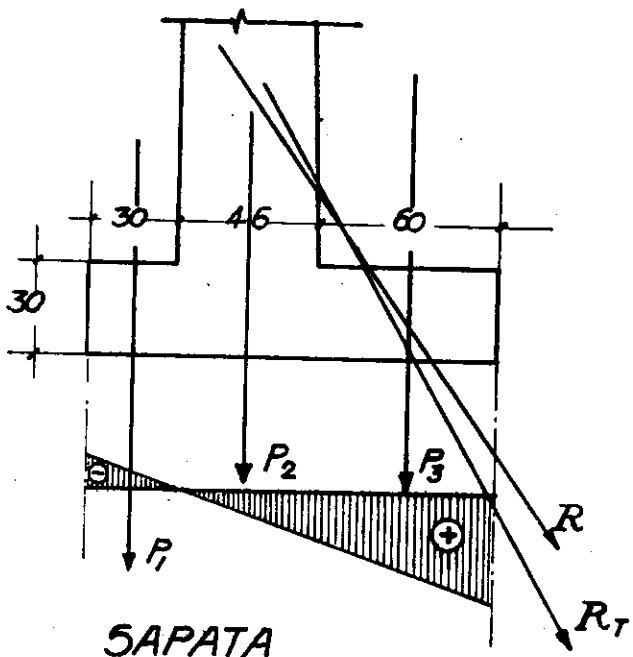


Fig 7